



哈尔滨工业大学（深圳）

可见光通信实验报告

实验二：单载波调制-归零和非归零码

姓 名 _____ 陈兴基 _____
专 业 _____ 通信工程 _____
学 号 _____ 190210303 _____
日 期 _____ 2022/4/22 _____

实验二

一、实验原理

1. 数值仿真 BER

由于 OOK(On-and-Off Keying)调制方式实现方法简单, 所以被广泛应用于强度调制/直接检测(Intensity Modulation/Direct Detection, IM/DD)的可见光通信系统中。OOK 调制有归零(Return Zero, RZ)码和非归零(None Return Zero, NRZ)码。在 NRZ 码中, 比特“1”的发送持续时间/脉冲时间等于全部比特持续时间/码元时间。在 RZ 码中, 比特“1”仅占用部分比特持续时间/码元时间, 用一个工作周期(Duty Cycle)的占空比 $\gamma = 0.5$ 表示。比特“0”则由零幅度的光脉冲表示。图 1 展示了 OOK-NRZ 和 OOK-RZ, 平均发射能量为 P_{avg} 的单映射比较图。OOK-NRZ 的包络由下式给出:

$$p(t) = \begin{cases} 2P_{avg} & \text{for } t \in [0, T_b) \\ 0 & \text{elsewhere} \end{cases}$$

其中 P_{avg} 是平均能量, T_b 是比特持续时间/码元时间。

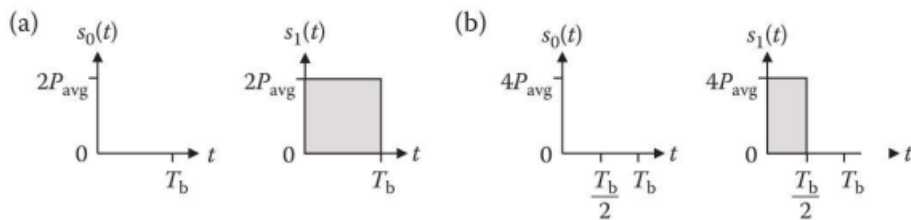


图 1. OOK 的传输波形 (a) NRZ 和 (b) RZ ($\gamma = 0.5$)

2. 理论解析 BER

可见光的噪声双边功率谱密度(Double-Sided Power Spectral Density)为:

$$\frac{N_o}{2} = qI_B$$

其中， q 是电子电荷量， I_b 是背景灯光产生的平均光电流。

在等概率情况下，比特“1”和比特“0”的概率是： $P(0) = P(1) = 0.5$ 。最优的门限点是：

$$i_{th} = 0.5I_p$$

其中， I_p 是峰值光电流。

条件错误概率为：

$$P_e = Q\left(\frac{i_{th}}{\sigma}\right)$$

其中， $Q(\cdot)$ 为 Q-function，标准差 $\sigma = \sqrt{\frac{N_o E_p}{2}}$ ，其中， E_p 是峰值光能量。

接收端的检测信号可以建模为：

$$i(t) = \begin{cases} I_p + n(t) & \text{传输1} \\ n(t) & \text{传输0} \end{cases}$$

其中， $n(t) \sim (0, \sigma^2)$ 是由于环境光线造成的加性高斯白噪声。

在使用匹配滤波器(Matched filter)的情况下，上式可以表示为：

$$y_i = \begin{cases} E_p + n_i & \text{传输1} \\ n_i & \text{传输0} \end{cases}$$

已知每比特平均能量与峰值光能量的关系为 $E_b = \frac{E_p}{2}$ ，所以 OOK 的误码率公式为

$$P_{e_bit_OOK} = Q\left(\sqrt{\frac{E_b}{N_o}}\right)$$

在 OOK-NRZ 中，每比特平均能量：

$$E_b = 2(RP_r^2)T_b$$

其中，光电探测器的灵敏度 $R = 1$ ； P_r 是平均光功率； T_b 是比特持续时间。

在 OOK-RZ 中，工作周期参数 γ 提升了每比特的平均能量：

$$E_b = \frac{2(RP_r^2)T_b}{\gamma}$$

二、仿真实现

1. OOK-NRZ

```

clear all
close all

q=1.6e-19;
% Charge of Electron
Ib=202e-6;
% Background Noise Current + interference
N0=2*q*Ib;
% Noise Spectral Density （此处需要产生噪声功率谱密度：N0）
R=1;
% Photodetector responsivity
Rb=1e6;
% Bit rate
Tb=1/Rb;
% bit duration （此处需要计算比特时间：Tb）
sig_length=1e5;
% number of bits
nsamp=10;
% samples per symbol
Tsamp=Tb/nsamp;
% sampling time
EbN0=1:12;
% signal-to-noise ratio in dB.
SNR=10.^(EbN0./10);
% signal-to-noise ratio

% ***** Simulation of probability of errors. *****
for i=1:length(SNR)
    P_avg(i)=sqrt(N0*Rb*SNR(i)/(2*R^2));
    % average transmitted optical power
    i_peak(i)=2*R*P_avg(i);
    % Peak Electrical amplitude
    Ep(i)=i_peak(i)^2*Tb;
    % Peak energy (Energy per bit is Ep/2)

```

```

sigma(i)=sqrt(N0/2/Tsamp);
% noise variance (power spectral density related to
sampling time)
%sigma(i)=i_peak(i)/sqrt(2)*sqrt(nsamp/(2*SNR(i)));
pt=ones(1,nsamp)*i_peak(i);
% transmitter filter
rt=pt;
% receiver filter matched to pt
OOK=round(rand(1,sig_length));
% OOK random signal generation (此处产生 OOK 信号: OOK)
Tx_signal = reshape((pt.*OOK),1,sig_length*nsamp);
% Pulse shaping function (rectangular pulse)
Rx_signal=Tx_signal+normrnd(0,sigma(i),1,sig_length*10);
% received signal (此处编写在 AWGN 信道下接收信号代码
% Rx_signal: 接收信号=发送信号+噪声)
MF_out=conv(Rx_signal,rt)*Tsamp;
% matched filter output
MF_out_downsamp=MF_out(nsamp:nsamp:end);
% sampling at end of bit period
MF_out_downsamp=MF_out_downsamp(1:sig_length);
% truncation
Eb=Ep(i)/2;
% thresholding and demodulation (此处设置一个判决门限来解码
1 和 0,
% 门限为每比特平均能量。)
error1=sum(((MF_out_downsamp-Eb).*OOK)<0);
error0=sum(((MF_out_downsamp-Eb).*(OOK-1))<0);
ber(i)=(error0+error1)/sig_length;
P(i)=(erfc(sqrt(Eb/N0)/sqrt(2)))/2;
% bit error calculation (此处计算系统仿真数值误码率: ber)
end

figure;
semilogy(EbN0,ber,'b-*','linewidth',2);
hold on
semilogy(EbN0,P,'r-*','linewidth',2);
% analytical performance, Q-function (此处计算系统理论解析误码
率, 并画图)

```

```
grid on
legend('数值解','解析解');
xlabel('Eb/No, dB');
ylabel('BER');
title('OOK-NRZ 调制 BER 曲线');
```

2. OOK-RZ

```
clear all
close all

q=1.6e-19;
% Charge of Electron
Ib=202e-6;
% Background Noise Current + interference
N0=2*q*Ib;
% Noise Spectral Density （此处需要产生噪声功率谱密度：N0）
R=1;
% Photodetector responsivity
Rb=1e6;
% Bit rate
Tb=1/Rb;
% bit duration （此处需要计算比特时间：Tb）
sig_length=1e5;
% number of bits
nsamp=10;
% samples per symbol
Tsamp=Tb/nsamp;
% sampling time
EbN0=1:12;
% signal-to-noise ratio in dB.
SNR=10.^(EbN0./10);
% signal-to-noise ratio

% ***** Simulation of probability of errors. *****
for i=1:length(SNR)
    P_avg(i)=sqrt(N0*Rb*SNR(i)/(2*R^2));
```

```

% average transmitted optical power
i_peak(i)=2*R*P_avg(i)/0.5;
% Peak Electrical amplitude
Ep(i)=i_peak(i)^2*Tb*0.5;
% Peak energy (Energy per bit is Ep/2)
sgma(i)=sqrt(N0/2/Tsamp);
% noise variance (power spectral density related to
sampling time)
% sgma(i)=i_peak(i)/sqrt(2)*sqrt(nsamp/(2*SNR(i)));
pt=ones(1,nsamp/2)*i_peak(i);
pt((nsamp/2+1):nsamp)=0;
% transmitter filter
rt=pt;
% receiver filter matched to pt
ooK1=round(rand(1,sig_length));
ooK2=zeros(1,sig_length);
ook=[ooK1;ooK2];
OOK=reshape(ook,[1 sig_length*2]);
% OOK random signal generation (此处产生 OOK 信号: OOK)
Tx_signal=rectpulse(OOK,nsamp/2)*i_peak(i);
% Pulse shaping function (rectangular pulse)
Rx_signal=Tx_signal+normrnd(0,sgma(i),1,sig_length*nsamp);
% received signal (此处编写在 AWGN 信道下接收信号代码
% Rx_signal: 接收信号=发送信号+噪声)
MF_out=conv(Rx_signal,rt)*Tsamp;
% matched filter output
MF_out_downsamp=MF_out(nsamp/2:nsamp:end);
% sampling at end of bit period
MF_out_downsamp=MF_out_downsamp(1:sig_length);
% truncation
Eb=Ep(i)/2;
% thresholding and demodulation (此处设置一个判决门限来解码
1 和 0,
% 门限为每比特平均能量。)
error=0;
for K=1:sig_length
    if (MF_out_downsamp(K)>=Eb)&(ooK1(K)==0)
        error=error+1;
    end
end
    
```

```

end
if (MF_out_downsamp(K)<Eb)&(ooK1(K)==1)
    error=error+1;
end
end
ber(i)=error/sig_length;
% bit error calculation (此处计算系统仿真数值误码率: ber)
end

figure;
semilogy(EbN0,ber,'b-*','linewidth',2);
hold on
P=qfunc(sqrt(SNR/0.5));
semilogy(EbN0,P,'r-*','linewidth',2);
% analytical performance, Q-function (此处计算系统理论解析误码率, 并画图)
grid on
legend('数值解','解析解');
xlabel('Eb/No, dB');
ylabel('BER');
title('OOK-RZ 调制 BER 曲线');

```

3. OOK-NRZ vs OOK-RZ

```

clear all
close all

q=1.6e-19;
% Charge of Electron
Ib=202e-6;
% Background Noise Current + interference
N0=2*q*Ib;
% Noise Spectral Density (此处需要产生噪声功率谱密度: N0)
R=1;
% Photodetector responsivity
Rb=1e6;
% Bit rate

```



```

Tb=1/Rb;
% bit duration (此处需要计算比特时间: Tb)
sig_length=1e5;
% number of bits
nsamp=10;
% samples per symbol
Tsamp=Tb/nsamp;
% sampling time
EbN0=1:12;
% signal-to-noise ratio in dB.
SNR=10.^(EbN0./10);
% signal-to-noise ratio

% ***** Simulation of probability of errors. *****
for i=1:length(SNR)
    P_avg(i)=sqrt(N0*Rb*SNR(i)/(2*R^2));
    % average transmitted optical power
    i_peak(i)=2*R*P_avg(i);
    % Peak Electrical amplitude
    Ep(i)=i_peak(i)^2*Tb;
    % Peak energy (Energy per bit is Ep/2)
    sigma(i)=sqrt(N0/2/Tsamp);
    % noise variance (power spectral density related to
sampling time)
    %sigma(i)=i_peak(i)/sqrt(2)*sqrt(nsamp/(2*SNR(i)));
    pt=ones(1,nsamp)*i_peak(i);
    % transmitter filter
    rt=pt;
    % receiver filter matched to pt
    OOK=round(rand(1,sig_length));
    % OOK random signal generation (此处产生 OOK 信号: OOK)
    Tx_signal = reshape((pt.*OOK),1,sig_length*nsamp);
    % Pulse shaping function (rectangular pulse)
    Rx_signal=Tx_signal+normrnd(0,sigma(i),1,sig_length*10);
    % received signal (此处编写在 AWGN 信道下接收信号代码
    % Rx_signal: 接收信号=发送信号+噪声)
    MF_out=conv(Rx_signal,rt)*Tsamp;
    % matched filter output
    
```

```

MF_out_downsamp=MF_out(nsamp:nsamp:end);
% sampling at end of bit period
MF_out_downsamp=MF_out_downsamp(1:sig_length);
% truncation
Eb=Ep(i)/2;
% thresholding and demodulation (此处设置一个判决门限来解码
1 和 0,
% 门限为每比特平均能量。)
error1=sum(((MF_out_downsamp-Eb).*(OOK)<0));
error0=sum(((MF_out_downsamp-Eb).*(OOK-1))<0);
ber(i)=(error0+error1)/sig_length;
P(i)=(erfc(sqrt(Eb/N0)/sqrt(2)))/2;
% bit error calculation (此处计算系统仿真数值误码率: ber)
end

figure;
semilogy(EbN0,ber,'r-','linewidth',2);
hold on
semilogy(EbN0,P,'b-','linewidth',2);

% ***** Simulation of probability of errors. *****
for i=1:length(SNR)
    P_avg(i)=sqrt(N0*Rb*SNR(i)/(2*R^2));
    % average transmitted optical power
    i_peak(i)=2*R*P_avg(i)/0.5;
    % Peak Electrical amplitude
    Ep(i)=i_peak(i)^2*Tb*0.5;
    % Peak energy (Energy per bit is Ep/2)
    sigma(i)=sqrt(N0/2/Tsamp);
    % noise variance (power spectral density related to
sampling time)
    % sigma(i)=i_peak(i)/sqrt(2)*sqrt(nsamp/(2*SNR(i)));
    pt=ones(1,nsamp/2)*i_peak(i);
    pt((nsamp/2+1):nsamp)=0;
    % transmitter filter
    rt=pt;
    % receiver filter matched to pt
    ook1=round(rand(1,sig_length));

```

```

    ooK2=zeros(1,sig_length);
    ook=[ooK1;ooK2];
    OOK=reshape(ook,[1 sig_length*2]);
    % OOK random signal generation (此处产生 OOK 信号: OOK)
    Tx_signal=rectpulse(OOK,nsamp/2)*i_peak(i);
    % Pulse shaping function (rectangular pulse)
    Rx_signal=Tx_signal+normrnd(0,sgma(i),1,sig_length*nsamp);
    % received signal (此处编写在 AWGN 信道下接收信号代码
    % Rx_signal: 接收信号=发送信号+噪声)
    MF_out=conv(Rx_signal,rt)*Tsamp;
    % matched filter output
    MF_out_downsamp=MF_out(nsamp/2:nsamp:end);
    % sampling at end of bit period
    MF_out_downsamp=MF_out_downsamp(1:sig_length);
    % truncation
    Eb=Ep(i)/2;
    % thresholding and demodulation (此处设置一个判决门限来解码
    1 和 0,
    % 门限为每比特平均能量。)
    error=0;
    for K=1:sig_length
        if (MF_out_downsamp(K)>=Eb)&(ooK1(K)==0)
            error=error+1;
        end
        if (MF_out_downsamp(K)<Eb)&(ooK1(K)==1)
            error=error+1;
        end
    end
    ber(i)=error/sig_length;
    % bit error calculation (此处计算系统仿真数值误码率: ber)
end

semilogy(EbN0,ber,'g-*','linewidth',2);
hold on
P=qfunc(sqrt(SNR/0.5));
semilogy(EbN0,P,'m-*','linewidth',2);

% analytical performance, Q-function (此处计算系统理论解析误码

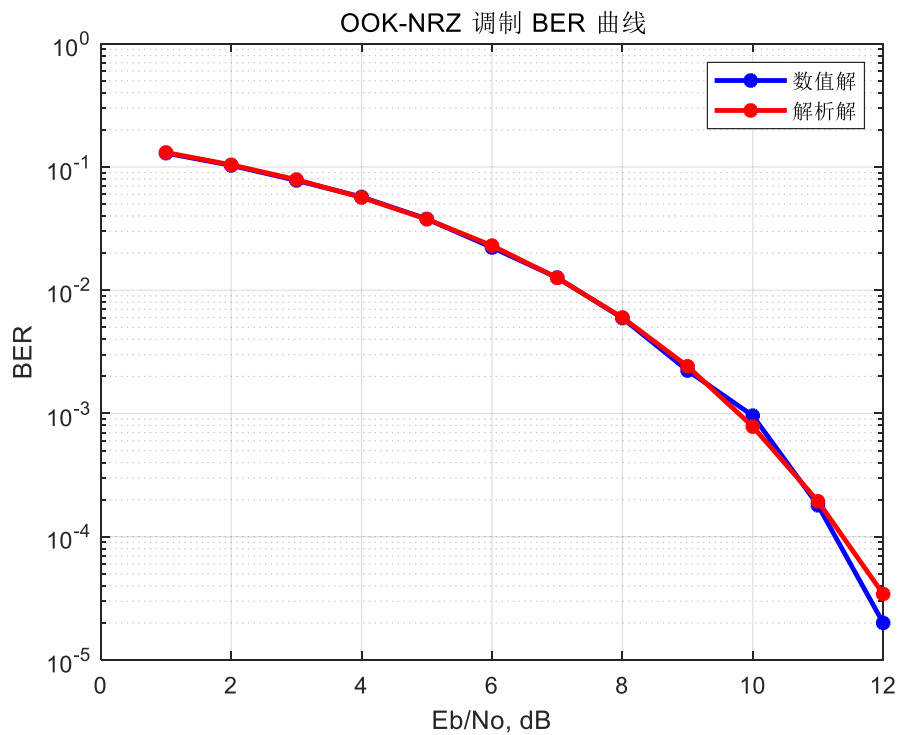
```

率，并画图)

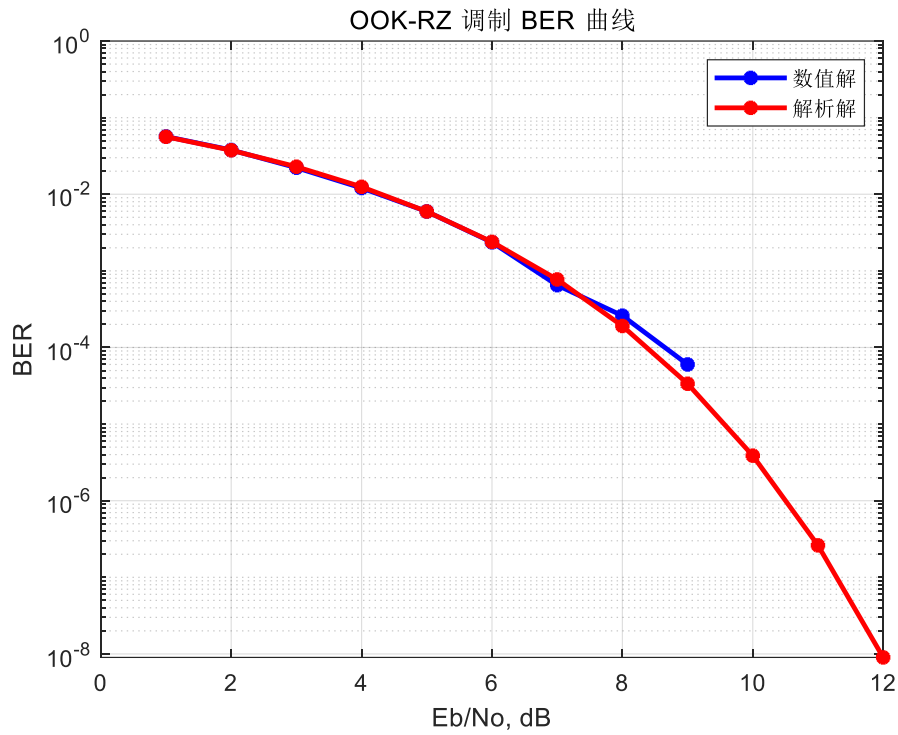
```
grid on
legend('NRZ数值解','NRZ解析解','RZ数值解','RZ解析解');
xlabel('Eb/No, dB');
ylabel('BER');
title('OOK-NRZ vs OOK-RZ 调制 BER 曲线');
```

三、仿真结果分析及总结

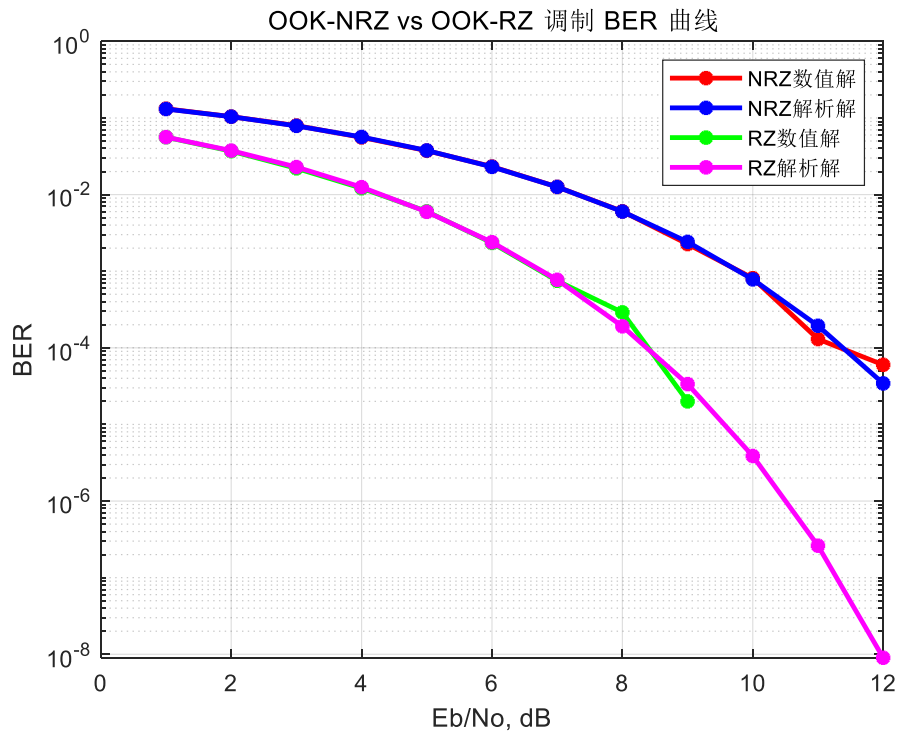
1. OOK-NRZ



2. OOK-RZ



3. OOK-NRZ vs OOK-RZ



从实验结果来看，NRZ 码的理论曲线与数值仿真在实验所给的信噪比范围内拟合结果较好，RZ 码在信噪比升高后模拟结果的误码率会明显高于理论值。

在同样的信噪比和信道条件下，OOK-NRZ 调制的误码率整体高于 OOK-RZ 调制，与理论计算的结果一致。